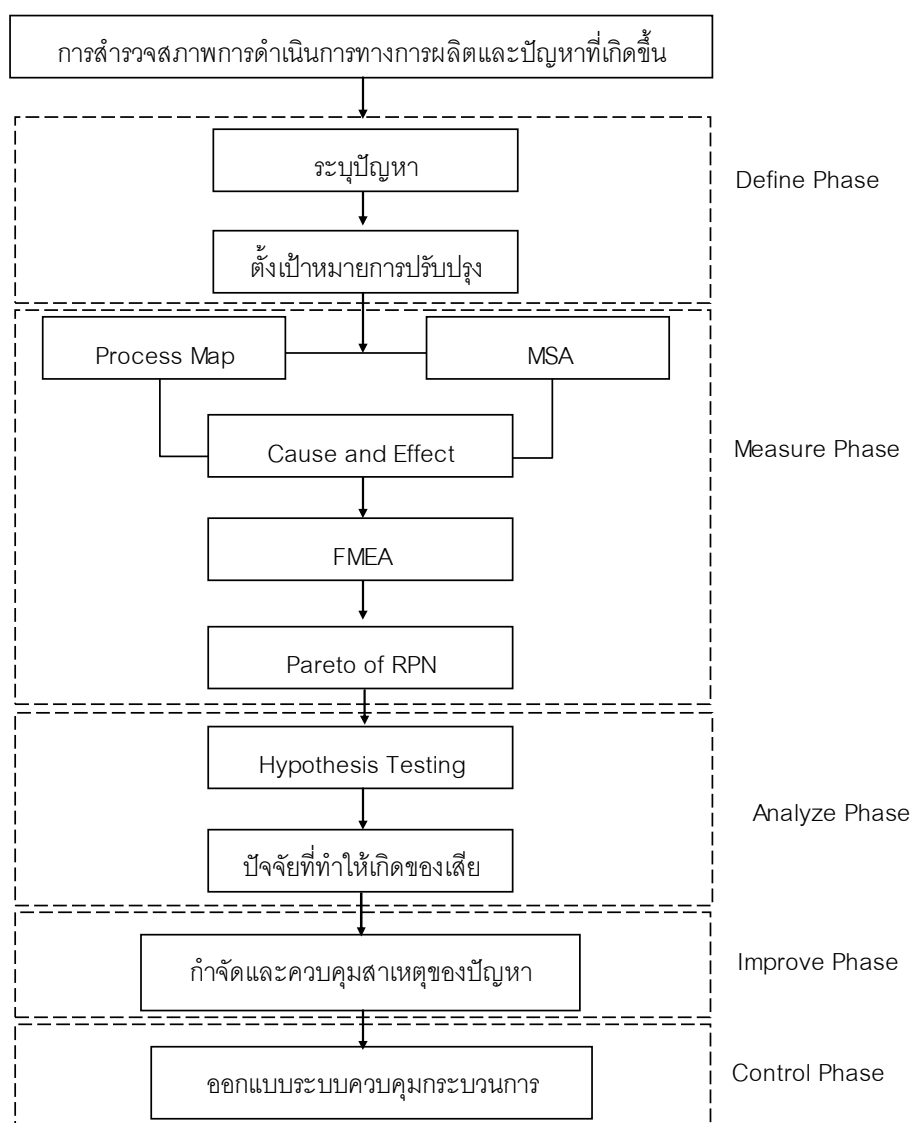


บทที่ 3

วิธีการวิจัย

3.1 ขั้นตอนการดำเนินงาน

ขั้นตอนในการดำเนินงานแบ่งออกเป็น 6 ขั้นตอนแสดงดังภาพที่ 3.1



ภาพที่ 3.1

กระบวนการดำเนินงานวิจัย

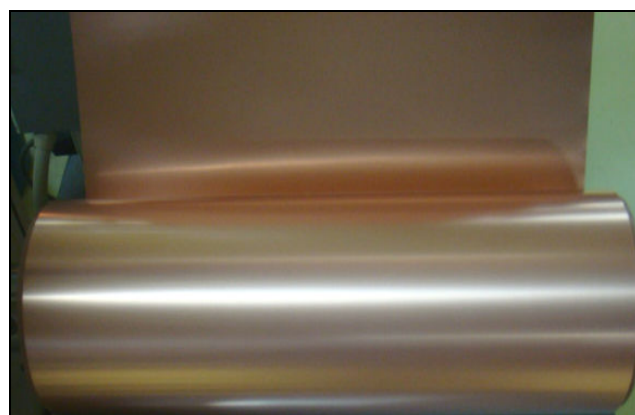
3.2 การสำรวจสภาพการดำเนินการทางการผลิตและปัญหาที่เกิดขึ้น

ข้อมูลเบื้องต้นกรณีศึกษา

บริษัทตัวอย่างกรณีศึกษาจัดตั้งขึ้นในปี ค.ศ. 1988 ทำการผลิตแผ่นพิมพ์วงจรไฟฟ้าชนิดอ่อนสำหรับเป็นส่วนประกอบของเครื่องใช้ไฟฟ้าและอุปกรณ์อิเล็กทรอนิกส์ต่างๆ ผลิตภัณฑ์หลักคือ แผ่นพิมพ์วงจรไฟฟ้าชนิดอ่อนที่มีเส้นลายวงจรด้านเดียว (Single Side FPC) แผ่นพิมพ์วงจรไฟฟ้าชนิดอ่อนที่มีเส้นลายวงจรสองด้าน (Double Side FPC) และแผ่นพิมพ์วงจรไฟฟ้าชนิดอ่อนที่มีเส้นลายวงจรตั้งแต่สามชั้นขึ้นไป (Multilayer FPC) กระบวนการผลิตแผ่นพิมพ์วงจรไฟฟ้าชนิดอ่อน มี 6 กระบวนการหลักดังที่ได้กล่าวไว้แล้วในบทที่ 1 โดยในกรณีศึกษานี้มุ่งศึกษาในส่วนของกระบวนการสร้างเส้นลายวงจร ซึ่งมีรายละเอียดดังนี้

วัตถุดิบที่ใช้ในการกระบวนการสร้างเส้นลายวงจรประกอบด้วยวัตถุดิบหลัก 3 ชนิดคือ

1. แผ่นทองแดง (Copper Clad Laminates, CCL) เป็นวัตถุดิบพื้นฐานที่สำคัญในโครงสร้างของแผ่นพิมพ์วงจรไฟฟ้าชนิดอ่อน ตัวอย่างแผ่นทองแดงแสดงดังภาพที่ 3.2



ภาพที่ 3.2
แผ่นทองแดงที่ใช้เป็นวัตถุดิบในการสร้างเส้นลายวงจร

2. แผ่นรายฟิล์ม (Dry Film, DF) เป็นวัตถุดิบที่ช่วยในการกระบวนการสร้างเส้นลายวงจรซึ่งจะไม่ปรากฏหรือติดอยู่กับแผ่นพิมพ์วงจรไฟฟ้าชนิดอ่อนหลังเสร็จสิ้นจากการสร้างเส้นลายวงจร วัตถุดิบนี้มีคุณสมบัติที่ไม่ต้องแสงโดยเฉพาะแสง UV (Ultraviolet Light) หากแสงไปกระทบกับรายฟิล์มสีของรายฟิล์มจะเปลี่ยนเป็นสีเข้มและเนื้อจะแข็งตัว

3. สารเคมี เป็นวัตถุดิบที่ช่วยในการทำความสะอาดแผ่นทองแดง กัดแผ่นทองแดง และล้างดรายฟิล์มออกเพื่อให้เกิดเป็นเส้นลายวงจร

กระบวนการสร้างเส้นลายวงจรประกอบด้วยกระบวนการอย่างต่อไปนี้

1. กระบวนการทำความสะอาดแผ่นทองแดง (Material Scrubbing Process, MSC) ทำหน้าที่ทำความสะอาดผิวน้ำหน้าทองแดงเพื่อล้างเศษฝุ่น คราบมันหรือคราบรอยนิ้วมือที่ติดบนผิวน้ำหน้าทองแดงออก

2. กระบวนการติดดรายฟิล์ม (Dry Film Laminate Process, DFL) ทำหน้าที่ติดดรายฟิล์มซึ่งໄว้แสงต่อแสงaviolet (Ultraviolet Light) ลงบนแผ่นทองแดงเพื่อนำไปถ่ายแบบลายวงจร

3. กระบวนการถ่ายแบบลายวงจรบนดรายฟิล์ม (Exposure Process, EXP) ทำหน้าที่ถ่ายภาพลายวงจรจากฟิล์มแม่แบบ (Master Film) ลงบนดรายฟิล์มโดยการฉายแสง UV

4. กระบวนการล้างดรายฟิล์มด้วยสารเคมี (Development Process, DEV) ทำหน้าที่ล้างดรายฟิล์มส่วนที่ไม่ถูกแสงกระแทกออกเพื่อเปิดทองแดงส่วนที่ไม่ต้องการถ่ายสารละลายโซเดียมคาร์บอเนต (Sodium Carbonate, Na_2CO_3) สำหรับดรายฟิล์มส่วนที่ถูกแสงกระแทกจะไม่ถูกล้างออก

5. กระบวนการกัดเส้นลายวงจร (Etching Process, ETC) ทำหน้ากัดทองแดงส่วนที่ไม่มีดรายฟิล์มคลุมอยู่ออก โดยใช้สารละลายกรดไฮโดรคลอริก (Hydrochloric Acid, HCl) และไฮโดรเจน Peroxide (H_2O_2)

6. กระบวนการลอกดรายฟิล์มส่วนที่ปักคลุมเส้นลายวงจร (Stripping Process, STP) ทำหน้าที่ลอกดรายฟิล์มส่วนที่ปักคลุมเส้นลายวงจรออก โดยใช้สารละลายโซเดียมไฮดรอกไซด์ (Sodium Hydroxide, NaOH) ทำให้มองเห็นทองแดงซึ่งทองแดงเหล่านี้คือเส้นลายวงจรนั้นเอง

7. กระบวนการทำความสะอาดเส้นลายวงจร (Circuit Scrubbing Process, CSC) ทำหน้าที่ทำความสะอาดเส้นลายวงจรเพื่อล้างสารเคมีที่ตกค้างบนผิวลายวงจรให้สะอาดและเคลือบผิวลายวงจรด้วยน้ำยา Anti-tarnish เพื่อป้องกันสนิม

3.3 การกำหนดปัญหา (Define Phase)

ขั้นตอนนี้เป็นการระบุข้อกำหนดของลูกค้าและคัดเลือกปัญหาที่พบรูปในกระบวนการสร้างเส้นลายวงจร

3.3.1 ข้อกำหนดของลูกค้า (Customer Specification)

ข้อบกพร่องของผลิตภัณฑ์ที่เกิดจากกระบวนการสร้างเส้นลายวงจรแบ่งเป็น 3 ระดับดังนี้

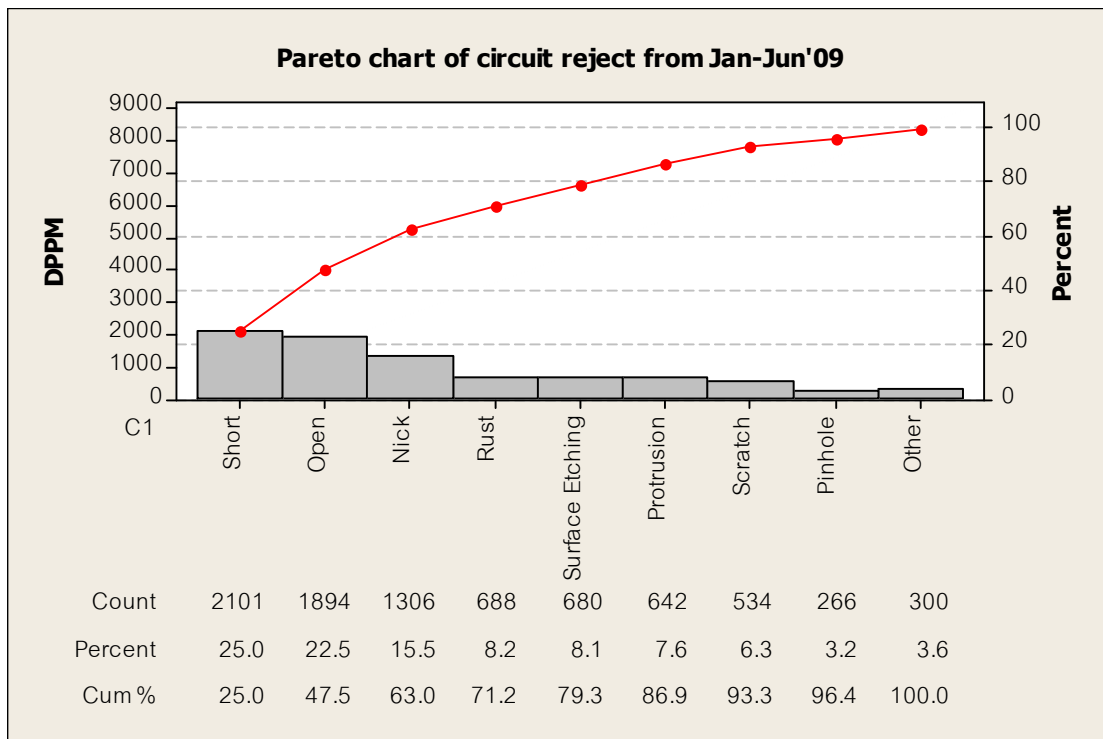
1. ระดับรุนแรงขั้นวิกฤต เป็นระดับที่ลูกค้าไม่ยินยอมให้เกิด เพราะถ้าหากนำไปใช้งานจะไม่ทำงานหรือบางครั้งอาจทำให้อุปกรณ์เสื่อม ของลูกค้าเกิดความเสียหายได้มี 2 ชนิดคือ เส้นลายวงจรขาดจากกัน (Open circuit) และ บางส่วนของเส้นลายวงจรเชื่อมต่อกัน (Short)

2. ระดับความสำคัญหลัก เป็นระดับที่ลูกค้ายินยอมให้เกิดได้แต่ต้องไม่นำมากกว่าในระดับที่ลูกค้ากำหนด มี 7 ชนิดคือ บางส่วนของเส้นลายวงจรเว้าแหว่ง (Nick) บางส่วนของเส้นลายวงจรเป็นรูให้ (Pin hole) บางส่วนของเส้นลายวงจรสิ่นออกมา (Protrusion) เหลือเศษท่อนแดงอยู่ระหว่างเส้นลายวงจร (Residue) บางส่วนของเส้นลายวงจรอุดกัดด้วยน้ำยา (Surface Etching) รอยขีดข่วนบนเส้นลายวงจร (Scratch) และเส้นลายวงจรลอกหรือหลุดจากเปลือกฟิล์ม (Circuit delamination)

3. ระดับความสำคัญรอง เป็นระดับที่ลูกค้ายินยอมให้เกิดได้แต่ดูแล้วไม่嚴重 งานหรือหากเกิดในระดับที่มากเกินไปลูกค้าจะไม่ยอมรับผลิตภัณฑ์นั้นๆ มี 2 ชนิดคือ คราบสนิม (Rust) และคราบสกปรก (Dirt)

3.3.2 การระบุปัญหา

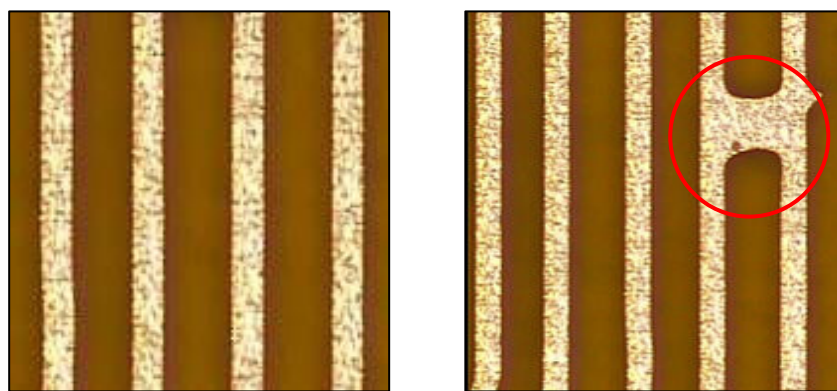
จากภาพที่ 3.3 เป็นอัตราส่วนข้อบกพร่องแบบต่างๆ ของผลิตภัณฑ์ที่เกิดจากกระบวนการสร้างเส้นลายวงจรตั้งแต่เดือนมกราคมถึงมิถุนายน 2552 พบรูปว่าปัญหาที่เกิดขึ้นมากที่สุดคือ บางส่วนของเส้นลายวงจรเชื่อมต่อกัน (Short) ซึ่งเป็นข้อบกพร่องระดับรุนแรงขั้นวิกฤตมีลักษณะตั้งภาพที่ 3.4 มีอัตราส่วนของเสียเฉลี่ย 2101 PPM หรือคิดเป็น 25 เปอร์เซ็นต์ของปัญหาข้อบกพร่องทั้งหมดที่พบรูปในกระบวนการสร้างเส้นลายวงจรก่อให้เกิดความสูญเสียคิดเป็นมูลค่าเฉลี่ย 2-4 ล้านบาทต่อเดือน ดังนั้นจึงได้ทำการคัดเลือกปัญหาดังกล่าวในมำทำการศึกษา



ภาพที่ 3.3

แผนภูมิพาราโอดีแสดงอัตราส่วนข้อบกพร่องแบบต่างๆ

ที่พบในกระบวนการสร้างเส้นลายวงจรตั้งแต่เดือนมกราคม-มิถุนายน 2552



ภาพที่ 3.4

เปรียบเทียบเส้นลายวงจรที่ปกติ (ซ้าย) และเส้นลายวงจรที่มีข้อบกพร่องประเภท
บางส่วนของเส้นลายวงจรเชื่อมต่อกัน (ขวา)

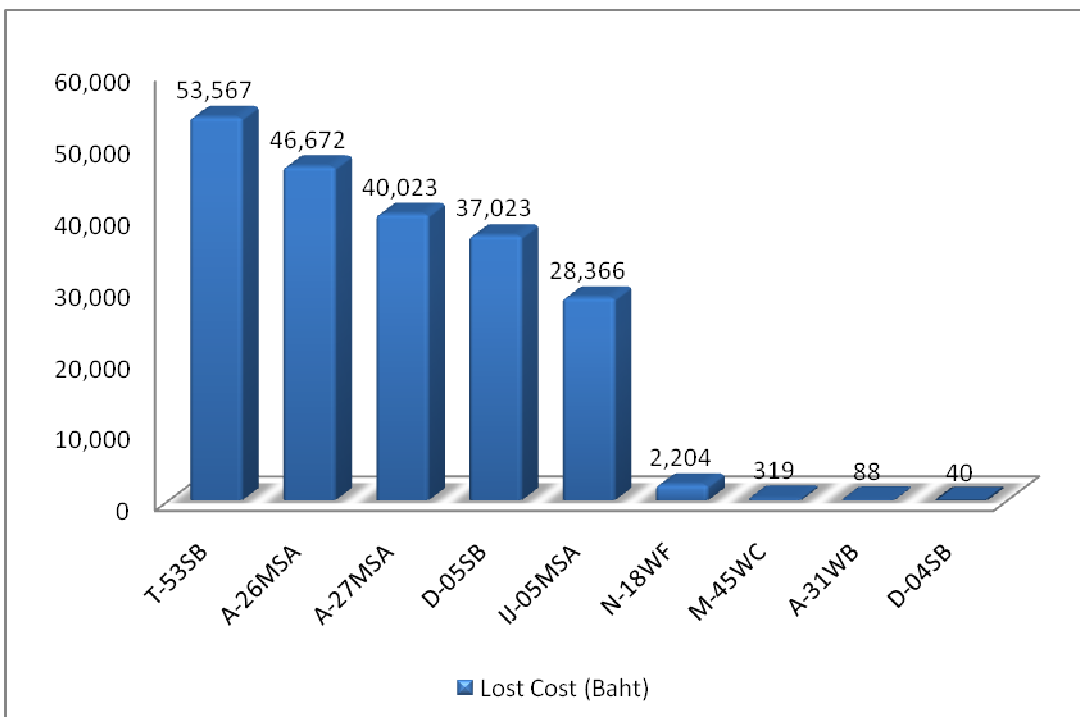
3.3.3 รุ่นของผลิตภัณฑ์ที่ทำการศึกษา

ในกรณีศึกษานี้ได้เลือกผลิตภัณฑ์รุ่น T-53SB ขึ้นมาใช้เป็นกรณีศึกษาโดยคัดเลือกจากผลิตภัณฑ์ที่มียอดพยากรณ์การสั่งซื้อสูงสุด 10 อันดับแรกและอัตราข้อบกพร่องประเภทที่บางส่วนของเส้นลายวงจรเชื่อมต่อกันแล้วนำไปคำนวณหาความสูญเสียที่จะเกิดขึ้นหากไม่มีการแก้ไขปรับปรุง แสดงรายละเอียดดังตารางที่ 3.1 และภาพที่ 3.5

ตารางที่ 3.1

ผลิตภัณฑ์ที่มียอดพยากรณ์การสั่งซื้อสูงสุด 10 อันดับแรกและต้นทุนที่ต้องสูญเสียจากข้อบกพร่องประเภทบางส่วนของเส้นลายวงจรเชื่อมต่อกันหากไม่มีการปรับปรุงแก้ไข

| Product Name | Forecast per month (Pieces) | Short (PPM) | Prize/Piece (Baht) | Lost Cost (Baht) |
|--------------|--------------------------------|----------------|-----------------------|---------------------|
| T-53SB | 1,188,000 | 4,399 | 10.25 | 53,567 |
| A-26MSA | 857,000 | 3,063 | 17.78 | 46,672 |
| A-27MSA | 670,000 | 3,800 | 15.72 | 40,023 |
| D-05SB | 960,000 | 1,334 | 28.91 | 37,023 |
| IJ-05MSA | 674,400 | 3,414 | 12.32 | 28,366 |
| N-18WF | 998,400 | 336 | 6.57 | 2,204 |
| M-45WC | 1,172,200 | 245 | 1.11 | 319 |
| A-31WB | 1,055,000 | 42 | 1.98 | 88 |
| D-04SB | 1,152,000 | 18 | 1.91 | 40 |
| A-39LA | 1,454,000 | 0 | 33.09 | 0 |



ภาพที่ 3.5

กราฟแสดงข้อมูลต้นทุนที่ต้องสูญเสียจากการเกิดข้อบกพร่องประเภทบางส่วนของเส้นลายวงจร
ซึ่งมีค่ากันของยอดพยากรณ์การสั่งซื้อสูงสุด 10 อันดับแรก ณ เดือน มิถุนายน 2552

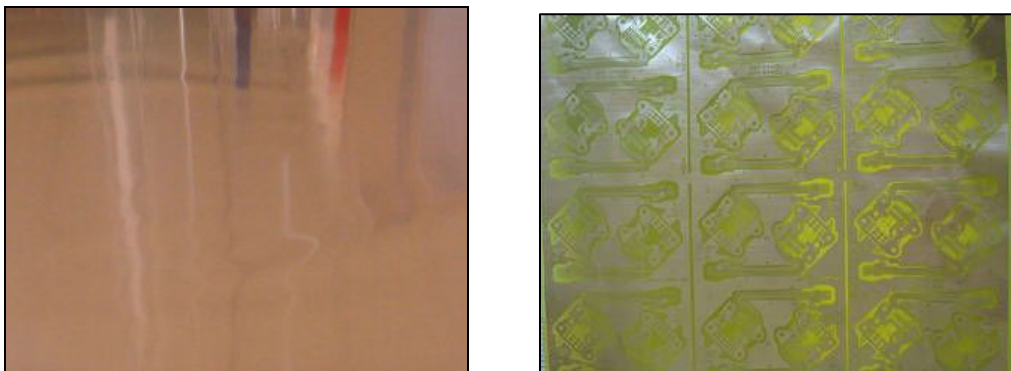
ข้อมูลผลิตภัณฑ์

- เป็นผลิตภัณฑ์แพลงก์ไฟฟ้าชนิดอ่อนประเภทมีเส้นลายวงจรไฟฟ้าขั้นเดียว

(Single side FPC)

- การนำไปประยุกต์ใช้งานเพื่อนำไปเป็นส่วนประกอบหลักในอุปกรณ์เก็บข้อมูลของคอมพิวเตอร์ (Hard Disk Drive)
 - ขนาดการผลิตต่อ Lot เท่ากับ 1440 ชิ้น โดยแบ่งเป็น 60 Sheets ในกลุ่ม (24 ชิ้น/Sheet) และจะถูกตัดแบ่งให้มีขนาดเป็นชิ้นที่กระบวนการขั้นสุดท้าย
 - ปริมาณการผลิต 44 Lot/วัน (ข้อมูล ณ เดือน มิถุนายน 2552)

ภาพตัวอย่างผลิตภัณฑ์แสดงดังภาพที่ 3.6



ภาพที่ 3.6

ผลิตภัณฑ์รุ่น T-53SB ก่อน (ซ้าย) และหลัง (ขวา) กระบวนการสร้างเส้นลายวงจร

ผลิตภัณฑ์รุ่น T-53SB เป็นแผ่นพิมพ์วงจรไฟฟ้าชนิดก่อนที่มีเส้นลายวงจรต้านเดียว กลไกการเกิดข้อบกพร่องชนิดบางส่วนของเส้นลายวงจรเรื่องต่อกันแสดงดังภาพที่ 3.7 โดยสาเหตุหลักของการเกิดข้อบกพร่องชนิดนี้ เกิดจากการมีสิ่งปนเปื้อนติดบนแผ่นทองแดงในระหว่างกระบวนการสร้างเส้นลายวงจร โดยสิ่งปนเปื้อนดังกล่าวสามารถเกิดขึ้นได้ทุกกระบวนการหากการควบคุมกระบวนการไม่สามารถทำได้อย่างสมบูรณ์ และเป็นสาเหตุทำให้ทองแดงบริเวณดังกล่าวไม่สามารถถูกกัดออกได้ในกระบวนการกัดทองแดงส่วนที่ไม่ต้องการ (Etching Process) เกิดเป็นทองเศษทองแดงที่หลงเหลืออยู่ระหว่างเส้นลายวงจร 2 เส้น ซึ่งลักษณะดังกล่าวถือเป็นข้อบกพร่องระดับรุนแรงขั้นวิกฤต เพราะหากถูกค้านำผลิตภัณฑ์ดังกล่าวไปใช้จะทำให้วงจรไฟฟ้าไม่ทำงานหรือบางครั้งอาจทำให้อุปกรณ์บางอย่างของลูกค้าเสียหายได้

1. CCL Structure



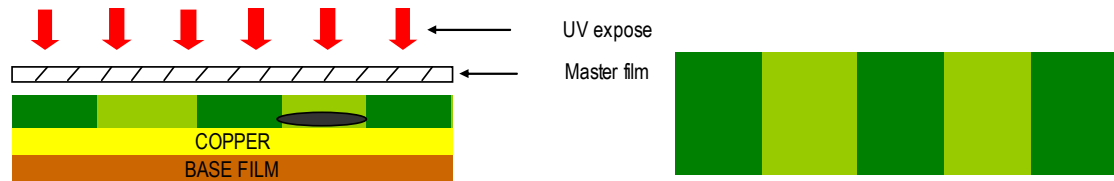
2. Contamination on CCL



3. Dry film laminate process



4. Exposure process



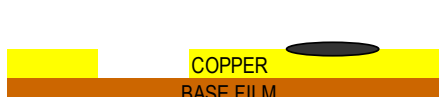
5. Development process



6. Etching process



7. Stripping process

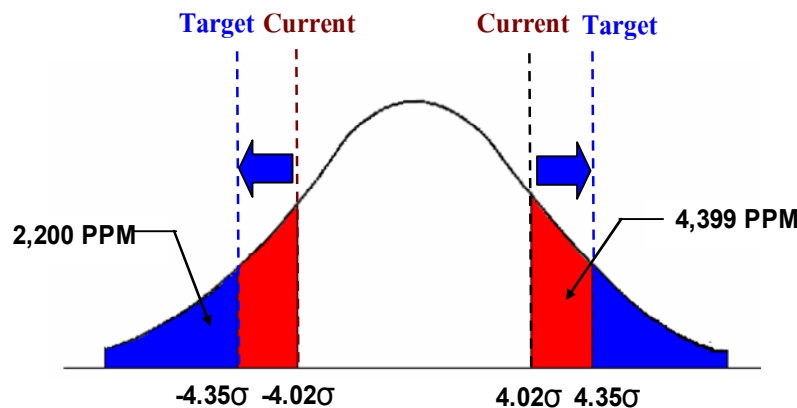


ภาพที่ 3.7

กลไกการเกิดข้อบกพร่องชนิดบางส่วนของเส้นลายวงจรเชื่อมต่อ กัน

3.3.4 เป้าหมายการดำเนินงานวิจัย

เป้าหมายของโครงการวิจัยนี้ คือ การลดอัตราของเสี่ยงภัยทางส่วนของเส้นลายวงจรเข็มต่อกันของผลิตภัณฑ์รุ่น T-53SB ลงจากเดิม 50 เปอร์เซ็นต์ ซึ่งค่าเฉลี่ยของเสี่ยงต่อเดือนเดิมอยู่ที่ 4,399 PPM (ข้อมูล ณ เดือน มิถุนายน 2552) ลดลงให้เหลือเดือนละ 2,200 PPM และแสดงดังภาพที่ 3.8



ภาพที่ 3.8

เป้าหมายการดำเนินการวิจัย

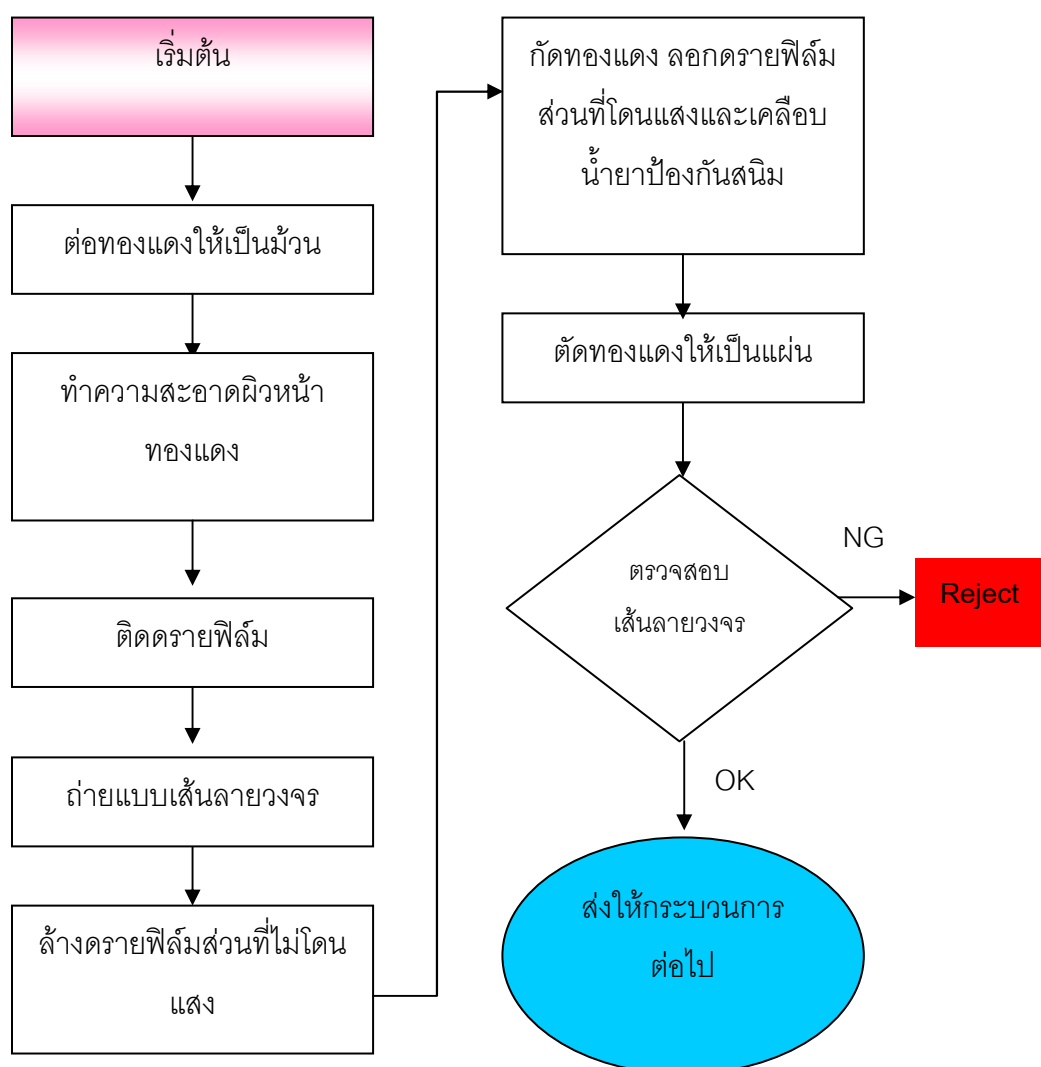
3.4 การวัดเพื่อกำหนดสาเหตุของปัญหา (Measure Phase)

ขั้นตอนนี้มีวัตถุประสงค์เพื่อศึกษาถึงแหล่งที่มาที่เป็นสาเหตุของปัญหาโดยเริ่มจาก การศึกษาเกี่ยวกับรายละเอียดของกระบวนการผลิตในทุกๆ ขั้นตอนที่เกี่ยวข้องกับผลิตภัณฑ์ที่ทำการศึกษา และวิเคราะห์ความแเปลี่ยนแปลงของระบบการวัดที่ใช้ในกระบวนการผลิตเพื่อที่จะประกัน ความถูกต้องของข้อมูลที่ได้จากการวัดก่อนทำการทดลองเพื่อวิเคราะห์ปัญหา

1. สร้างแผนที่กระบวนการผลิต (Process Map) เพื่อศึกษาถึงแหล่งที่มาที่เป็นสาเหตุ ของปัญหาริ่มจากการศึกษาเกี่ยวกับรายละเอียดของกระบวนการผลิตในทุกๆ ขั้นตอนที่เกี่ยวข้อง กับผลิตภัณฑ์ที่ทำการศึกษาเพื่อดันหาตัวแปรและปัจจัยนำเข้า (Key Process Input Variable, KPIVs) ที่ทำให้เกิดปัญหา (Key Process Output Variable, KPOVs) และแสดงดังภาพที่ 3.9

จากภาพที่ 3.9 ขั้นตอนการผลิตของรุ่น T-53SB จะเริ่มตั้งแต่การตัดต่อทองแดงให้ เป็นม้วนเพื่อให้ได้ความยาวตามที่แผนกว่างแผนกำหนด จากนั้นส่งไปยังกระบวนการทำความสะอาด

ສະອາດຝຶວໜ້າທອງແດງ ກະບວນກາຣຕິດດຽຍພິລິມເພື່ອຕິດດຽຍພິລິມລົງບນແຜ່ນທອງແດງກ່ອນສັງໄປສູ່ກະບວນກາຮ່າຍແບບເສັ້ນລາຍງວງຈຣ ແລະສົງໄປສູ່ກະບວນກາຮ່າງດຽຍພິລິມສ່ວນທີ່ໄມ່ໂດນແສງອອກເພື່ອເປີດພື້ນທີ່ທອງແດງສ່ວນທີ່ໄມ່ຕ້ອງກາຣກ່ອນຈະເຂົ້າສູ່ກະບວນກາຮັດທອງແດງສ່ວນທີ່ໄມ່ຕ້ອງກາຣອອກແລ້ວເຂົ້າສູ່ກະບວນກາຮລອດດຽຍພິລິມສ່ວນທີ່ປົກຄຸມເສັ້ນລາຍງວງຈຣແລະເຄີ່ອບນໍ້າຢາປ້ອງກັນສົນມຈາກນັ້ນສັງໄປແປຣູ່ປົກຄຸມພິລິມແດງຈາກນ້ຳວັນເປັນແຜ່ນໂດຍໃຫ້ເຄື່ອງຕັດແລະກະບວນກາຮສຸດທ້າຍທໍາກາຣຕຽຈສອບຄຸນກາພເສັ້ນລາຍງວງຈຣໂດຍໃຫ້ເຄື່ອງເອົາໄອກ່ອນຈະສົງເຂົ້າສູ່ກະບວນກາຮັດໄປ



ກາພທີ 3.9

ແຜນກາພກາຮພລິທຂອງພລິຕກັນທີ່ວຸ່ນ T-53SB

2. วิเคราะห์ความแม่นยำของระบบการวัดที่ใช้ในกระบวนการผลิตเพื่อเป็นการประกันความถูกต้องของข้อมูลที่ได้จากการวัดก่อนนำไปทำการวัดผลการดำเนินงาน เครื่องมือวัดใช้ในการตรวจสอบคุณภาพเส้นลายวงจรคืออุปกรณ์ที่เรียกว่า เครื่องเอโอลาย (Automatic Optical Inspection, AOI) เครื่องเอโอลายมีหลักการทำงานคือ ตรวจสอบความผิดปกติของเส้นลายวงจร โดยเปรียบเทียบกับแบบของเส้นลายวงจรที่ปกติที่ถูกใส่ข้อมูลไว้ในโปรแกรมของเครื่อง ในขณะที่ทำการตรวจสอบเครื่องจะมีการแสดงภาพให้เห็น โดยเมื่อเครื่องตรวจพบเส้นลายวงจรที่ผิดปกติ จะมีการแสดงสัญญาณเสียง (Alarm) และพนักงานที่ทำหน้าที่ควบคุมเครื่องจะเป็นผู้ที่ทำสัญลักษณ์บนชิ้นงานที่พบข้อบกพร่องตามชนิดของข้อบกพร่องที่พบ เพื่อบ่งบอกให้กระบวนการตัดไปรับทราบปัญหา ในการวิเคราะห์ความแม่นยำของระบบการวัดดังนี้จึงใช้การวิเคราะห์ระบบการวัดข้อมูลแบบนับ (GR&R Attribute) ซึ่งมุ่งเน้นไปที่ประสิทธิภาพการตรวจสอบและการทำซ้ำของอุปกรณ์ที่ใช้ มีขั้นตอนดังนี้

- 1) เตรียมชิ้นงานจำนวน 30 ชิ้นโดยเป็นชิ้นงานดี 10 ชิ้น และเป็นชิ้นงานเสีย 20 ชิ้น
- 2) เลือกเครื่อง Automatic Optical Inspection ที่จะทำการทดสอบจำนวน 2 เครื่อง
- 3) ทำการตรวจสอบชิ้นงานที่เตรียมไว้ทุกชิ้นและตรวจสอบชิ้นงานที่เครื่องละ 2 รอบ โดยทำการบันทึกผลการตรวจสอบลงในแบบฟอร์มที่เตรียมไว้ วิธีการบันทึกเป็นดังนี้ บันทึก “0” สำหรับชิ้นงานที่เครื่องตรวจจับว่าบกพร่อง บันทึก “1” สำหรับชิ้นงานที่เครื่องตรวจจับว่าดี ซึ่งผลการประเมินแสดงดังตารางที่ 3.2

ตารางที่ 3.2

การประเมินความสามารถของระบบการวัดของเครื่องເອົາໄອກ່ອນກາງປະບຸງ

| No, | Quality | Machine 1 | | Machine 2 | | No, | Quality | Machine 1 | | Machine 2 | |
|-----|---------|------------|------------|------------|------------|-----|---------|------------|------------|------------|------------|
| | | 1st Detect | 2nd Detect | 1st Detect | 2nd Detect | | | 1st Detect | 2nd Detect | 1st Detect | 2nd Detect |
| 1 | 0 | 0 | 0 | 0 | 0 | 16 | 0 | 0 | 0 | 0 | 0 |
| 2 | 0 | 0 | 0 | 0 | 0 | 17 | 1 | 1 | 1 | 1 | 1 |
| 3 | 0 | 0 | 0 | 0 | 0 | 18 | 1 | 1 | 1 | 1 | 1 |
| 4 | 0 | 0 | 0 | 0 | 0 | 19 | 1 | 1 | 1 | 1 | 1 |
| 5 | 0 | 0 | 0 | 0 | 0 | 20 | 1 | 1 | 1 | 1 | 1 |
| 6 | 1 | 1 | 1 | 1 | 1 | 21 | 0 | 0 | 0 | 0 | 0 |
| 7 | 0 | 0 | 0 | 0 | 0 | 22 | 0 | 0 | 0 | 0 | 0 |
| 8 | 0 | 0 | 0 | 0 | 0 | 23 | 0 | 0 | 0 | 0 | 0 |
| 9 | 0 | 0 | 0 | 0 | 0 | 24 | 0 | 0 | 0 | 0 | 0 |
| 10 | 0 | 0 | 0 | 0 | 0 | 25 | 0 | 0 | 0 | 0 | 0 |
| 11 | 1 | 1 | 1 | 1 | 1 | 26 | 0 | 0 | 0 | 0 | 0 |
| 12 | 1 | 1 | 1 | 1 | 1 | 27 | 0 | 0 | 0 | 0 | 0 |
| 13 | 0 | 0 | 0 | 0 | 0 | 28 | 1 | 1 | 1 | 1 | 1 |
| 14 | 0 | 0 | 0 | 0 | 0 | 29 | 1 | 1 | 1 | 1 | 1 |
| 15 | 0 | 0 | 0 | 0 | 0 | 30 | 1 | 1 | 1 | 1 | 1 |

เนื่องจากมูลการประเมินความสามารถของระบบการวัดของเครื่องເອົາໄອກ່ອນກາງປະບຸງໄປ
วิเคราะห์ทางสถิติ ที่ระดับนัยสำคัญ 0.05 ได้ผลการวิเคราะห์ดังภาพที่ 3.10

ผลการวิเคราะห์

- % รีพิททะบิลิตี้ของเครื่องที่ 1 และ 2 เท่า 100% และ 100% ตามลำดับ
- ประสิทธิผลด้านรีพิททะบิลิตี้เท่ากับ 100% แสดงว่าเครื่องจกรทั้งสองตัวจะ

สอบได้ผลลัพธ์เหมือนกันทุกครั้ง

จากผลที่ได้พบว่าเครื่องເອົາໄອທັງ 2 เครื่องมีความสามารถในการตรวจสอบ
คุณภาพของผลิตภัณฑ์ที่มีความเชื่อถือได้อยู่ในระดับสูงกว่า 90 เปอร์เซ็นต์ ดังนั้นจึงสามารถ
นำไปใช้เป็นเครื่องมือวัดสำหรับขั้นตอนต่อไปได้

| Within Appraisers | | | | | |
|---|--|--|--|--|--|
| Assessment Agreement | | | | | |
| Appraiser # Inspected # Matched Percent 95 % CI | | | | | |
| Machine1 30 30 100.00 (90.50, 100.00) | | | | | |
| Machine2 30 30 100.00 (90.50, 100.00) | | | | | |
| # Matched: Appraiser agrees with him/herself across trials. | | | | | |
| Between Appraisers | | | | | |
| Assessment Agreement | | | | | |
| # Inspected # Matched Percent 95 % CI | | | | | |
| 30 30 100.00 (90.50, 100.00) | | | | | |
| # Matched: All appraisers' assessments agree with each other. | | | | | |

ภาพที่ 3.10

ผลการวิเคราะห์ระบบการวัดข้อมูลแบบนับก่อนปรับปัจจุบัน

3. วิเคราะห์หาสาเหตุและตัวแปรต่างๆ ที่อาจมีผลกระทบต่อปัญหาโดยใช้แผนผังกำงปลา (Cause and Effect Diagram) แสดงดังภาพที่ 3.11

4. ประเมินความสำคัญของสาเหตุที่อาจมีผลกระทบต่อปัญหา โดยใช้ตารางการวิเคราะห์ข้อบกพร่องและผลกระทบต่อปัญหา (Failure Mode and Effects Analysis, FMEA) ซึ่งพิจารณา 3 หัวข้อ คือ ความรุนแรง (Severity) โอกาสในการเกิดปัญหา (Occurrence) และความสามารถในการป้องกัน (Detection) แล้วทำการให้คะแนนดังนี้

1) ความรุนแรงให้คะแนนดังนี้ ถ้ารุนแรงและส่งผลกระทบกับปัญามากที่สุดให้คะแนน 9 รุนแรงปานกลางให้คะแนน 5 และถ้าส่งผลกระทบน้อยมากให้คะแนน 1

2) โอกาสในการเกิดปัญหาให้คะแนนดังนี้ ถ้าโอกาสในการเกิดปัญหามีปัจจัยมากให้คะแนน 9 มีโอกาสปานกลางให้คะแนน 5 มีโอกาสสนับย้อนน้อยมากให้คะแนน 1

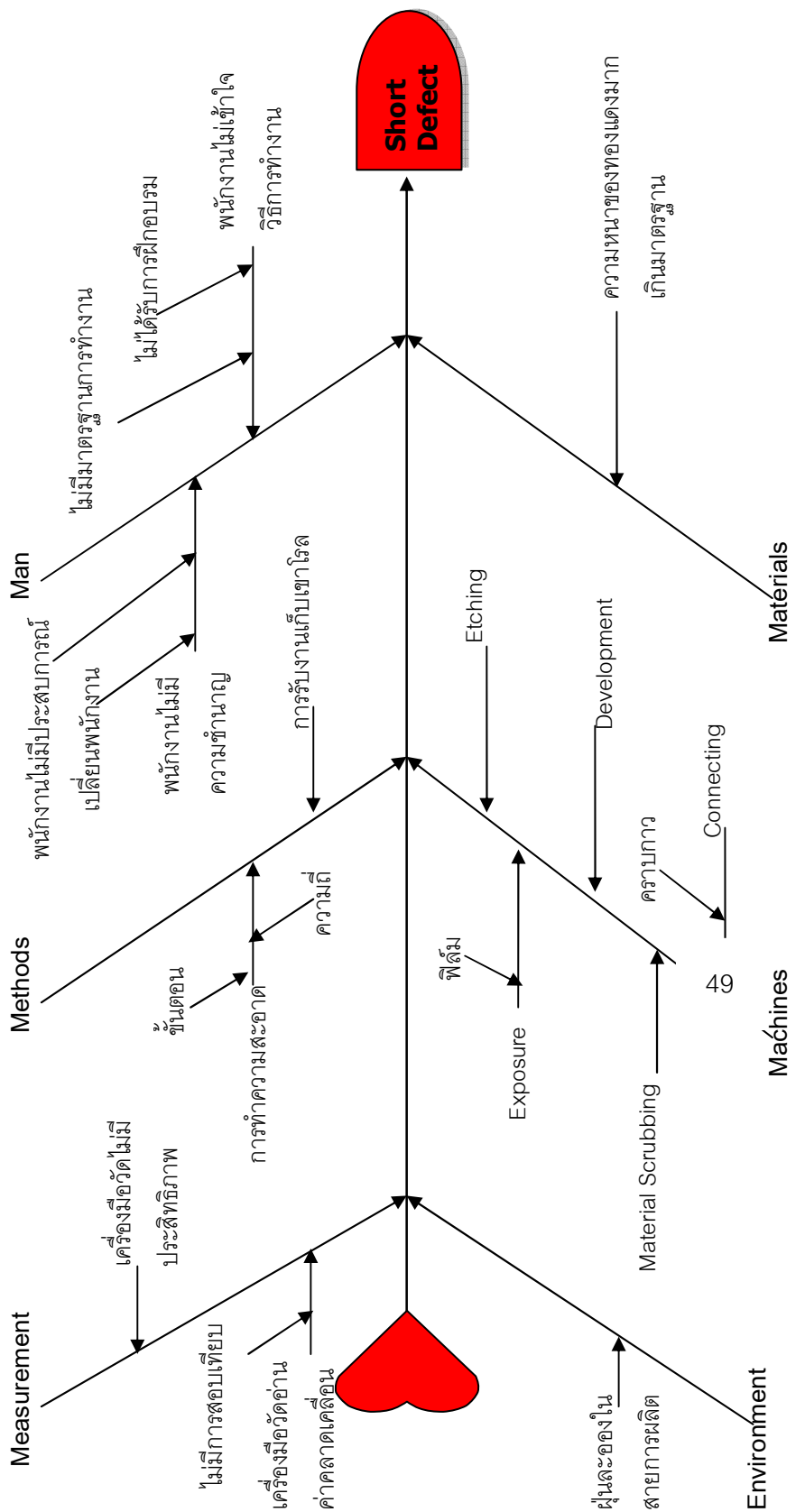
3) ความสามารถในการป้องกัน จะให้คะแนนในทางตรงข้ามกับความรุนแรง และโอกาสในการเกิดปัญหาดังนี้ ถ้าสามารถป้องกันปัญหาได้ดีมากให้คะแนน 1 ป้องกันได้ดีในระดับปานกลางให้คะแนน 5 และถ้าป้องกันปัญหาได้ยากหรือป้องกันได้ไม่ดีให้คะแนน 9

ตารางการให้คะแนนในหัวข้อความรุนแรง โอกาสในการเกิดปัญหา และความสามารถในการป้องกันแสดงดังตารางที่ 3.3 ผลการประเมินความสำคัญของสาเหตุที่อาจมีผลกระทบต่อการเกิดข้อบกพร่องชนิดบางส่วนของเส้นลายวงจรเชื่อมต่อกันแสดงดังตารางที่ 3.4

ตารางที่ 3.3

เกณฑ์การให้คะแนนการประเมินความเสี่ยงการเกิดข้อบกพร่องของผลิตภัณฑ์

| ความรุนแรง | โอกาสในการเกิดปัญหา | ความสามารถในการป้องกัน | คะแนน |
|------------|---------------------|--------------------------|-------|
| มากที่สุด | มีโอกาสมากที่สุด | ป้องกันปัญหาได้ยากที่สุด | 9 |
| มาก | มีโอกาสมาก | ป้องกันปัญหาได้ยาก | 7 |
| ปานกลาง | มีโอกาสปานกลาง | ป้องกันปัญหาได้ปานกลาง | 5 |
| น้อย | มีโอกาสน้อย | ป้องกันปัญหาได้ดี | 3 |
| น้อยที่สุด | มีโอกาสน้อยที่สุด | ป้องกันปัญหาได้ดีมาก | 1 |



ມງນ 3.11

ପ୍ରକାଶକ ପତ୍ର ମହିନେ ପରିଚୟ

ตารางที่ 3.4

การวิเคราะห์กิจกรรมของพื้นที่ผลิตภัณฑ์ T-53SB

| ลำดับ | ชื่อตัวอย่างกระบวนการ | KPIs | ลักษณะขั้นตอนพัฒนาชุด | ผลกระทบตามต่อ | สาระที่ทำให้ KPI ผิดพลาด | ระบบการควบคุม | O ปัจจุบัน | D | RPN |
|-------|-----------------------|---------------------|---------------------------|---------------|--------------------------|---|--|---|-----|
| 1 | Connecting | Pass line | គ្របាបការពិតតាម Pass line | KPOVs | Short | 5 ฝึกอบรมพนักงาน กิริยา | ใช้การนัดหมายต่อกำม ร่อนແລະສ្វាគម្ព័ណ្ឌ | 1 | 25 |
| 2 | Connecting | Pass line | បង្កើតឡងពិតតាម Pass line | KPOVs | Short | 5 ฝึกอบรมพนักงาน កុំពោន្ធនឹងការ | ការណែនត្របតាត 1 គ្រឿង តែក្រោម | 3 | 75 |
| 3 | Material Scrubbing | Loader დល់ Unloader | គ្របាបការពិតតាម Pass line | KPOVs | Short | 5 ផ្លូវការណែនត្របតាត 1 គ្រឿង តែក្រោម | ការណែនត្របតាត 1 គ្រឿង ងាយស្រួល | 1 | 25 |
| 4 | Material Scrubbing | ឡើត្យយា (MSC) | គ្របាបការពិតតាម Pass line | KPOVs | Short | 7 ធានាការណែនត្របតាត 1 គ្រឿង តែក្រោម | ការណែនត្របតាត 1 គ្រឿង តែក្រោម | 3 | 63 |
| 5 | Material Scrubbing | ឡើត្យយា (MSC) | គ្របាបការពិតតាម Pass line | KPOVs | Short | 7 ក្រសួងនីរាមធម៌ស្ថាបន ឃើញ | ឱ្យផ្តល់ការងារមិន 100 នូវការណែនត្របតាត 1 គ្រឿង | 7 | 343 |
| 6 | Material Scrubbing | Squeeze Roll (MSC) | គ្របាបការពិតតាម Pass line | KPOVs | Short | 7 ផ្លូវការណែនត្របតាត 1 គ្រឿង គ្របាបការពិតតាម Pass line | ការណែនត្របតាត 2 គ្រឿង គ្របាបការពិតតាម Pass line | 3 | 105 |

ตารางที่ 3.4

การวิเคราะห์ลักษณะของพัฒนาผลิตภัณฑ์ T-53SB (ต่อ)

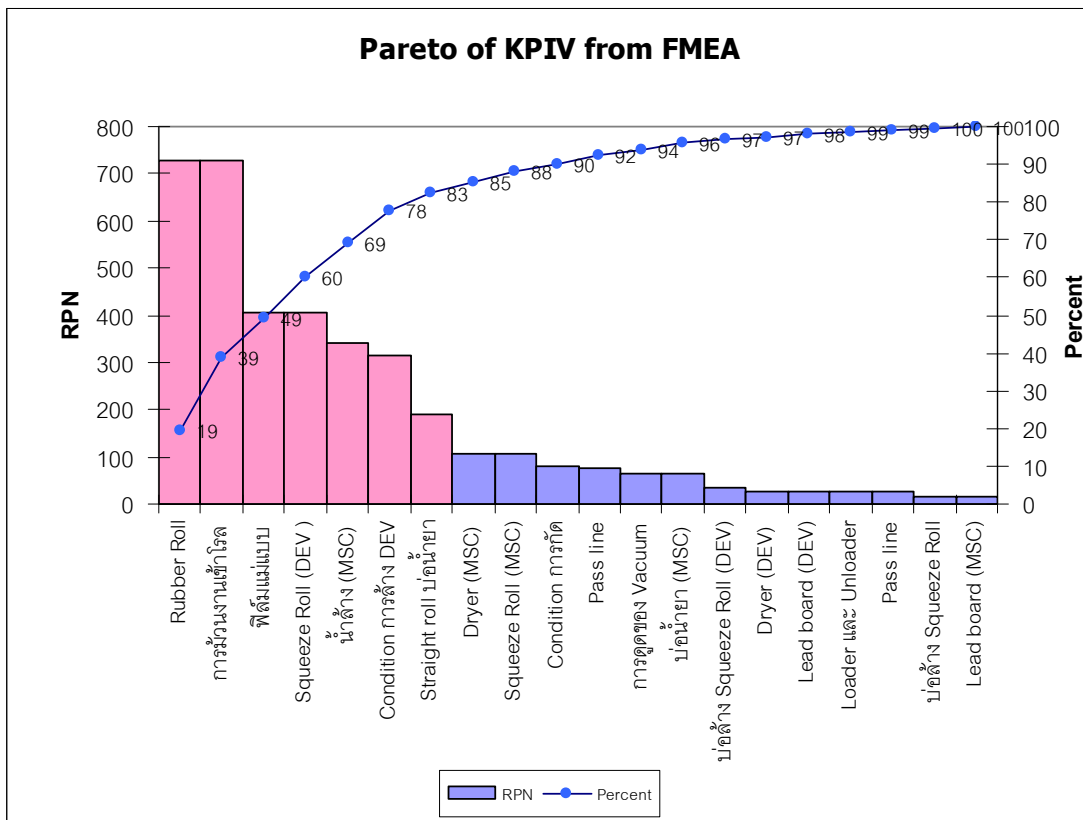
| ลำดับ | ชื่อตัวอย่าง กระบวนการ | KPIs | ตัวชี้วัดของความ ผิดพลาด KPIs | ผลการประเมิน | สาระที่ทำให้ KPIs ผิดพลาด | O | ระบบการควบคุมใน ปัจจุบัน | D | RPN |
|-------|---------------------------|----------------------------|--|--------------|--|---|---|---------|-----|
| 7 | Material Scrubbing | Lead board (MSC) | มีคราบกาวติด | Short | 5 พ้นกางไม่ทำความสะอาด สบายน้ำ | 3 พ้นกางไม่ทำความสะอาด สบายน้ำ | 3 ทำความสะอาดตามไป งานทุกครั้ง | 1 | 15 |
| 8 | Material Scrubbing | ปลอกล้าง Squeeze Roll | มีตัวไคร่น้ำเกาะ | Short | 5 พ้นกางไม่ทำความสะอาด สบายน้ำ | 3 พ้นกางไม่ทำความสะอาด สบายน้ำ | 3 ทำความสะอาดตามไป หลังจากใช้งานทุกครั้ง | 1 | 15 |
| 9 | Material Scrubbing | Dryer (MSC) | มีสิ่งปนเปื้อนสีฟ้าและส้ม | Short | 7 ควรเลือกการทำความ สะอาดไม่แห้งสนิม | 5 ควรเลือกการทำความ สะอาดไม่แห้งสนิม | 5 ทำความสะอาด 1 ครั้ง ต่อสัปดาห์ | 3 | 105 |
| 10 | Material Scrubbing | ภาชนะงานเข้ารีด พลาสติก | แผ่นหอยแ曹เมี่ยนราบเสื่อม | Short | 9 ไม่มีแผ่นพิเศษคงไว้ ม้วนเข้าในภาชนะ | 9 ยังไม่มีการควบคุม | 9 ยังไม่มีการควบคุม | 9 | 729 |
| 11 | Material Scrubbing | Rubber Roll | มีคราบกาวหดตกลา | Short | 9 การล้างทำความสะอาด อย่างดี | 9 เตรียมแม่ข่ายกรุด | 9 เตรียมแม่ข่ายกรุด | 9 | 729 |
| 12 | Exposure | การดูดซับ Vacuum | สาย Vacuum หล่อนี่จะดูด ถ่ายแบบสันหลาวยังจว | Short | 9 วิธีการดูดซับทำได้ ยาก | 1 ต้องดูดบ่ 1 ครั้งต่อวัน | 7 63 | | |
| 13 | Exposure | พัสดุแบบเย็บ | มีเศษคราบพิมพ์ติดบนทรายเดง | Short | 9 กาวออกเย็บไม่เหมือนสม | 9 ต้องดูดบ่โดยแซม | 5 405 | ออกนำไป | |

ตารางที่ 3.4

การวิเคราะห์กิจกรรมของสายการผลิตกระบวนการ T-53SB (ต่อ)

| ลำดับ | ชื่อต่อเนื่อง กระบวนการ | KPIs | ลักษณะของพัฒนาความ ผิดพลาดของ KPIs | S | ສภาวะที่ทำให้ KPIV ผิดพลาด | O | ระบบการควบคุมนำ ไปรับปัญหา | D | RPN |
|-------|----------------------------|-----------------------------|--|-------|-------------------------------|--------------------------------------|-------------------------------|--|-------|
| 14 | Development | Straight roll ปก น้ำยา | รูปแบบน้ำยาติด Roll | Short | 9 | ทำความสะอาดไม่ สมบูรณ์ | 7 | ทำความสะอาดคาด 1 ครั้ง ต่อวัน | 3 189 |
| 15 | Development | Squeeze Roll (DEV) | รูปแบบน้ำยา | Short | 9 | การทำหมัดยกกรวด งานไม่เหมาะสม | 9 | เปลี่ยน 1 ครั้งต่อ 2 เดือน | 5 405 |
| 16 | Development | Dryer (DEV) | รูปแบบยกเนื้อสี | Short | 9 | โครงสร้างข้อมูลร่อง งานไม่เหมาะสม | 3 | ทำความสะอาด 1 ครั้ง ต่อสัปดาห์ | 1 27 |
| 17 | Development | Lead board (DEV) | รูปร่างกายเดียว | Short | 5 | พนักงานไม่ทำความสะอาด สภาพดี | 5 | ทำความสะอาดก่อนไฟ งานทุกครั้ง | 1 25 |
| 18 | Development | บล็อก Squeeze Roll (DEV) | รูปแบบน้ำยา | Short | 7 | พนักงานไม่ทำความสะอาด สภาพดี | 5 | ทำความสะอาด หลังจากใช้งานครึ่ง วัน | 1 35 |
| 19 | Development | Condition การล้าง | Condition ไม่เหมาะสม | Short | 9 | ความเรียบเรียงสายพานเร็ว เกินไป | 7 | ใช้ความเร็ว 4.40 เมตร/ นาที | 5 315 |
| 20 | Etching | Condition การล้าง | พนักงานไม่ลอก Condition ไม่ เหมาะสม | Short | 9 | Condition มีความ รู้สึกบ่นมาก | 3 | พนักงานต้องลอกบ่อยๆ ประมาณ 3 ครั้ง | 3 81 |

5. สร้างแผนภูมิอาร์พีอีน (RPN Chart) จากผลประเมินความสำคัญของสาเหตุที่อาจมีผลกระทบต่อปัญหา เพื่อหาปัจจัยนำเข้า (KPIVs) ที่คาดว่าจะส่งผลกระทบกับปัญหา และนำไปวิเคราะห์ในขั้นต่อไป แสดงดังภาพที่ 3.12



ภาพที่ 3.12
แผนภูมิาร์พีอีนแสดงสาเหตุของผลิตภัณฑ์ที่เกิดข้อบกพร่อง
ประเภทบางส่วนของเส้นทางจราจรที่มีความต่อ กัน

3.5 การวิเคราะห์สาเหตุของปัญหา (Analyze Phase)

ขั้นตอนนี้มีวัตถุประสงค์เพื่อทดสอบความมีนัยสำคัญของปัจจัยต่างๆ ที่มีผลกับการเกิดข้อบกพร่องของผลิตภัณฑ์โดยนำข้อมูลที่ได้จากขั้นตอนการวัด ในขั้นตอนการวิเคราะห์ลักษณะข้อบกพร่องและผลกระทบ (FMEA) และเลือกปัจจัยนำเข้า (KPIVs) ที่มีความถี่ของตัวเลขแสดงลำดับของความเสี่ยง (Risk Priority Number, RPN) สะสมรวมกันอยู่ในระดับ 83 เปอร์เซ็นต์

มาทำการทดสอบทางสถิติและวิเคราะห์ปัจจัยนั้นๆ เพื่อเป็นการยืนยันว่าสาเหตุที่ส่งสัญญาณเป็นสาเหตุที่แท้จริงของปัญหาหรือความบกพร่องด้านคุณภาพหรือไม่ซึ่งปัจจัยนำเข้ามีทั้งหมด 20 ปัจจัย และปัจจัยที่มีแนวโน้มที่จะมีผลกระทบต่อการเกิดข้อบกพร่องประเภทบางส่วนของเส้นลายวงจรเชื่อมต่อกันมีทั้งหมด 7 ปัจจัย ได้แก่

1. รับเบอร์โรลเครื่อง Material Scrubbing มีค่า RPN เท่ากับ 729
2. การม้วนงานเข้าโรลที่ท้ายเครื่อง Material Scrubbing มีค่า RPN เท่ากับ 729
3. สควิชโรล (Squeeze Roll) เครื่อง Development มีค่า RPN เท่ากับ 405
4. ฟิล์มแม่แบบ กระบวนการถ่ายแบบเส้นลายวงจร มีค่า RPN เท่ากับ 405
5. น้ำส่างของเครื่อง Material Scrubbing มีค่า RPN เท่ากับ 343
6. สภาพการล้างดรายฟิล์มส่วนที่ไม่โดนแสง มีค่า RPN เท่ากับ 315
7. สเตrhoลปลอน้ำยาของเครื่อง Development มีค่า RPN เท่ากับ 189

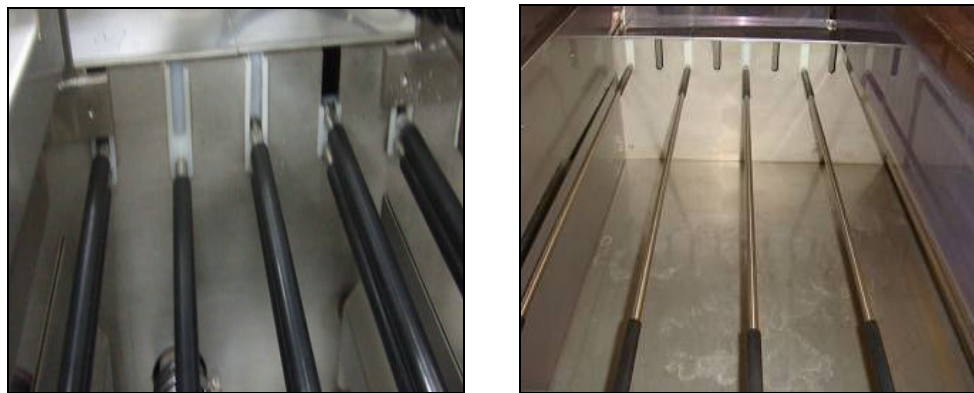
แนวทางการวิเคราะห์จะเริ่มทำการวิเคราะห์ทีละปัจจัย (One Factor At A Time) และดำเนินการทดลองเพื่อหาข้อมูลสนับสนุนสมมติฐานที่ตั้งไว้เพื่อเป็นการยืนยันว่าสาเหตุที่ส่งสัญญาณ คือสาเหตุที่แท้จริงของปัญหาหรือความบกพร่องด้านคุณภาพ โดยใช้วิธีการทดสอบการวิเคราะห์ความแปรปรวนแบบทางเดียว (One-Way ANOVA) ที่ระดับนัยสำคัญ 0.05 ซึ่งมีรายละเอียดดังนี้

3.5.1 การวิเคราะห์ผลผลกระทบของรับเบอร์โรลของเครื่อง Material Scrubbing

รับเบอร์โรลเป็นส่วนประกอบของเครื่อง Material Scrubbing ทำหน้าที่ลำเลียงทองแดงที่อยู่ในม้วนให้เคลื่อนที่ผ่านเข้าและออกเครื่องในระหว่างกระบวนการความสะอาดผิวน้ำทองแดงก่อนเข้าสู่กระบวนการติดรายฟิล์มและถ่ายแบบเส้นลายวงจร เนื่องจากรับเบอร์โรลในส่วนดรายเยอร์ (Dryer Unit) มีการใช้งานภายใต้สภาพที่อุณหภูมิสูงจึงทำให้มีการเยิ่มของยางที่ใช้เคลื่อนผิวของโรลและเมื่อยางดังกล่าวติดบนแผ่นทองแดงจะทำให้ทองแดงบริเวณดังกล่าวไม่สามารถถูกกดออกได้และเกิดเป็นข้อบกพร่องประเภทบางส่วนของเส้นลายวงจรเชื่อมต่อกัน จึงทำการทดลองโดยการวัดยางของโรลออกแสดงดังภาพที่ 3.13 เพื่อไม่ให้ทองแดงสัมผัสกับยางของโรลในขณะผ่านเข้ามาในส่วนของดรายเยอร์ในขั้นตอนการอบแห้ง และเบร์ยับเทียบผลก่อนและหลังการวัดยางของรับเบอร์โรลออกโดยตั้งสมมติฐานของการทดสอบเป็นดังนี้

H_0 : สัดส่วนผลิตภัณฑ์ที่มีข้อบกพร่องประเภทบางส่วนของเส้นลายวงจรเชื่อมต่อกันระหว่างก่อนและหลังการวัดยางของรับเบอร์โรลออกไม่มีความแตกต่างกัน

H_1 : สัดส่วนผลิตภัณฑ์ที่มีข้อบกพร่องประเททบางส่วนของเส้นลายวงจรเขื่อมต่อกันระหว่างก่อนและหลังกรีดยางของรูปเบอร์โรลออกมีความแตกต่างกัน



ภาพที่ 3.13

รูปเบอร์โรลก่อน (ซ้าย) และหลัง (ขวา) การกรีดยางออก

ผลที่ได้จากการทดลองแสดงดังตารางที่ 3.5 และผลการวิเคราะห์แสดงดังภาพที่ 3.14

ตารางที่ 3.5

ผลการเปรียบเทียบผลกระทบของผลกระแทบที่รูปเบอร์โรล

| Rubber Roll | Defect Short (%) | | | | | | | | | |
|----------------|------------------|------|------|------|------|------|------|------|------|------|
| | 1 | 2 | 3 | 4 | 5 | 6 | 7 | 8 | 9 | 10 |
| Have Rubber | 0.28 | 0.69 | 0.49 | 0.63 | 0.21 | 0.28 | 0.14 | 0.11 | 0.10 | 0.21 |
| Without Rubber | 0.14 | 0.14 | 0.07 | 0.07 | 0.14 | 0.28 | 0.07 | 0.07 | 0.00 | 0.07 |

จากผลการวิเคราะห์พบว่าค่า P-Value เท่ากับ 0.009 ซึ่งต่ำกว่าระดับนัยสำคัญจึงปฏิเสธสมมติฐานหลัก ดังนั้นสามารถสรุปได้ว่าสัดส่วนผลิตภัณฑ์ที่มีข้อบกพร่องประเททบางส่วนของเส้นลายวงจรเขื่อมต่อกันระหว่างก่อนและหลังกรีดยางของรูปเบอร์โรลในส่วนของรายเบอร์ออกมีความแตกต่างกันอย่างมีนัยสำคัญ

| One-way ANOVA: Short versus Rubber Roll | | | | | |
|--|---------------|--------------------|--------|--|---------------------------|
| Source | DF | SS | MS | F | P |
| Rubber Roll | 1 | 0.2184 | 0.2184 | 8.45 | 0.009 |
| Error | 18 | 0.4653 | 0.0258 | | |
| Total | 19 | 0.6837 | | | |
| S = 0.1608 | R-Sq = 31.94% | R-Sq(adj) = 28.16% | | | |
| | | | | Individual 95% CIs For Mean Based on Pooled StDev | |
| Level | N | Mean | StDev | +-----+-----+-----+-----+ | +-----+-----+-----+-----+ |
| Have Rubber | 10 | 0.3140 | 0.2144 | (-----*-----) | |
| Without Rubber | 10 | 0.1050 | 0.0756 | (-----*-----) | |
| | | | | +-----+-----+-----+-----+ | +-----+-----+-----+-----+ |
| | | | | 0.00 | 0.12 |
| | | | | 0.24 | 0.36 |
| Pooled StDev = 0.160 | | | | | |

ภาพที่ 3.14

ผลการวิเคราะห์ผลกราฟของผลกราฟของรับเบอร์โรล

3.5.2 การวิเคราะห์ผลกราฟการม้วนงานโรลที่ท้ายเครื่อง Material Scrubbing

หลังจากท้องแดงผ่านกระบวนการการทำความสะอาดผิวน้ำท้องแดงแล้วท้องแดงจะผ่านกระบวนการกรอบด้วยลมร้อนที่บริเวณดรายเยอร์และถูกม้วนเก็บเข้าโรลที่บริเวณท้ายเครื่องซึ่งเมื่อผ่านไปในระยะเวลาหนึ่งท้องแดงจะมีคราบสนิมเกาะเนื่องเกิดจากมีการควบแน่นของความชื้นในอากาศที่เกิดจากลมร้อนและความเย็นประทัศน์และถูกม้วนเข้าโรลอีกครั้งรวดเร็วซึ่งทำให้เกิดคราบสนิมบนแผ่นโดยคราบสนิมดังกล่าวไม่สามารถถูกกัดออกได้จึงเกิดเป็นข้อบกพร่องประเภทบางส่วนของเส้นลายวงจรเชื่อมต่อ กัน จึงทำการทดสอบโดยการใช้แผ่นพิล์มโพลีเอทธิลีน (Polyethylene, PE) ซึ่งเป็นวัสดุที่เหลือใช้ที่ถูกถอดออกจากการดรายฟิล์มมาใช้คันท้องแดงในระหว่างการม้วนงานเข้าโรลที่ท้ายเครื่อง Material Scrubbing ตัวอย่างแสดงดังภาพที่ 3.15 ทำการเปรียบเทียบผลสัดส่วนส่วนข้อบกพร่องของผลิตภัณฑ์โดยตั้งสมมติฐานของการทดสอบเป็นดังนี้

H_0 : สัดส่วนผลิตภัณฑ์ที่มีข้อบกพร่องประเภทบางส่วนของเส้นลายวงจรเชื่อมต่อ กัน ระหว่างการใช้แผ่นพิล์มคันไม่มีความแตกต่างกัน

H_1 : สัดส่วนผลิตภัณฑ์ที่มีข้อบกพร่องประเภทบางส่วนของเส้นลายวงจรเชื่อมต่อ กัน ระหว่างการใช้แผ่นพิล์มคันมีความแตกต่างกัน



ภาพที่ 3.15

การม้วนงานเข้าโรลโดยไม่ใช้ (ซ้าย) และใช้ (ขวา) พิล์มชนิดโพลีเอทิลีนคั่นทองแดง

ผลที่ได้จากการทดลองแสดงดังตารางที่ 3.6 และผลการวิเคราะห์แสดงดังภาพที่ 3.16

ตารางที่ 3.6

ผลการเปรียบเทียบผลกรอบผลกรอบการม้วนงานโรลที่ท้ายเครื่อง Material Scrubbing

| Protection Film | Defect Short (%) | | | | | | | | | |
|-----------------|------------------|------|------|------|------|------|------|------|------|------|
| | 1 | 2 | 3 | 4 | 5 | 6 | 7 | 8 | 9 | 10 |
| Not Separate | 0.28 | 0.69 | 0.49 | 0.63 | 0.21 | 0.28 | 0.49 | 0.63 | 0.35 | 0.21 |
| Separate | 0.14 | 0.14 | 0.07 | 0.07 | 0.14 | 0.28 | 0.07 | 0.07 | 0.00 | 0.07 |

จากผลการวิเคราะห์พบว่า ค่า P-Value เท่ากับ 0.000 ซึ่งต่ำกว่าระดับนัยสำคัญจึงปฏิเสธสมมติฐานหลัก ดังนั้น สามารถสรุปได้ว่าสัดส่วนผลิตภัณฑ์ที่มีข้อบกพร่องประเภทบางส่วนของเส้นลายวงจรเข้ามต่อ กันระหว่างการเข้าแผ่นพิล์มคั่นมีความแตกต่างกันอย่างมีนัยสำคัญ

| One-way ANOVA: Short versus Protection Film | | | | | | | | |
|--|---------------|--------------------|--------|--------------------------|--|------|------|--|
| Source | DF | SS | MS | F | P | | | |
| Protection Film | 1 | 0.5152 | 0.5152 | 26.18 | 0.000 | | | |
| Error | 18 | 0.3543 | 0.0197 | | | | | |
| Total | 19 | 0.8695 | | | | | | |
| S = 0.1403 | R-Sq = 59.25% | R-Sq(adj) = 56.99% | | | | | | |
| | | | | | | | | |
| | | | | | Individual 95% CIs For Mean Based on Pooled StDev | | | |
| Level | N | Mean | StDev | -----+-----+-----+-----+ | | | | |
| Not Separate | 10 | 0.4260 | 0.1834 | (-----*-----) | | | | |
| Separate | 10 | 0.1050 | 0.0756 | (-----*-----) | | | | |
| | | | | -----+-----+-----+-----+ | | | | |
| | | | | 0.15 | 0.30 | 0.45 | 0.60 | |
| | | | | | | | | |
| Pooled StDev = 0.1403 | | | | | | | | |

ภาพที่ 3.16

ผลการวิเคราะห์ผลกระบวนการการม้วนงานโลลที่ท้ายเครื่อง Material Scrubbing

3.5.3 การวิเคราะห์ผลกระบวนการสกัดวิชโอลเครื่อง Development

สกัดวิชโอลทำหน้าที่ซับน้ำออกจากแผ่นทองแดงก่อนจะผ่านเข้าไปในส่วนของการอบด้วยลมร้อนที่บริเวณดรายเยอร์ โดยหากสกัดวิชโอลไม่สามารถซับน้ำออกได้หมดจะทำให้มีความน้ำติดบนแผ่นทองแดงซึ่งควรบัน้ำดังกล่าวจะทำให้ทองแดงบริเวณนั้นไม่สามารถถูกน้ำยา กัดออกได้ และเกิดเป็นข้อบกพร่องประ痼ทบางส่วนของเส้นลายวงจรเชื่อมต่อ กัน แสดงดังภาพที่ 3.17 ประสาทวิภาคของการซับน้ำของสกัดวิชโอลจะลดลงเรื่อยๆ เมื่อมีการชำรุดตามอายุการใช้งานดังนั้น จึงทำการทดสอบโดยเปรียบเทียบผลก่อนและหลังการเปลี่ยนสกัดวิชโอล โดยตั้งสมมติฐานของการทดสอบดังนี้

H_0 : สัดส่วนผลิตภัณฑ์ที่มีข้อบกพร่องประ痼ทบางส่วนของเส้นลายวงจรเชื่อมต่อ กัน ระหว่างก่อนและหลังการเปลี่ยนสกัดวิชโอลใหม่ไม่มีความแตกต่างกัน

H_1 : สัดส่วนผลิตภัณฑ์ที่มีข้อบกพร่องประ痼ทบางส่วนของเส้นลายวงจรเชื่อมต่อ กัน ระหว่างก่อนและหลังการเปลี่ยนสกัดวิชโอลใหม่มีความแตกต่างกัน



ภาพที่ 3.17

คราบน้ำที่เกิดจากการซับน้ำออกไม่หมด (ข้าย) ทำให้เกิดข้อบกพร่อง (ขวา)

ผลที่ได้จากการทดลองแสดงดังตารางที่ 3.7 และผลการวิเคราะห์แสดงดังภาพที่ 3.18

ตารางที่ 3.7

ผลการเปรียบเทียบผลกระทบระหว่างก่อนและหลังการเปลี่ยนสควิชโรล

| Squeeze Roll DEV | Defect Short (%) | | | | | | | | | |
|---------------------|------------------|------|------|------|------|------|------|------|------|------|
| | 1 | 2 | 3 | 4 | 5 | 6 | 7 | 8 | 9 | 10 |
| Before Change | 0.49 | 0.69 | 0.83 | 0.84 | 0.28 | 0.83 | 0.69 | 0.14 | 0.49 | 0.21 |
| After Change | 0.14 | 0.07 | 0.00 | 0.00 | 0.07 | 0.07 | 0.00 | 0.08 | 0.07 | 0.00 |

จากผลการวิเคราะห์พบว่า ค่า P-Value เท่ากับ 0.000 ซึ่งต่ำกว่าระดับนัยสำคัญจึงปฏิเสธสมมติฐานหลัก ดังนั้น สามารถสรุปได้ว่าสัดส่วนผลิตภัณฑ์ที่มีข้อบกพร่องประเภทบางส่วนของเส้นลายวงจรเข้มต่อ กันระหว่างก่อนและหลังการเปลี่ยนสควิชโรล มีความแตกต่างกันอย่างมีนัยสำคัญ

| One-way ANOVA: Short versus Squeeze Roll | | | | | | | |
|--|----|--------|--------|-------------------------|-------------------------|------|------|
| Source | DF | SS | MS | F | P | | |
| Squeeze Roll | 1 | 1.2450 | 1.2450 | 33.73 | 0.000 | | |
| Error | 18 | 0.6645 | 0.0369 | | | | |
| Total | 19 | 1.9095 | | | | | |
| S = 0.1921 R-Sq = 65.20% R-Sq(adj) = 63.27% | | | | | | | |
| Individual 95% CIs For Mean Based on Pooled StDev | | | | | | | |
| Level | N | Mean | StDev | -----+-----+-----+----- | -----+-----+-----+----- | | |
| After | 10 | 0.0500 | 0.0478 | (-----*-----) | (-----*-----) | | |
| Before | 10 | 0.5490 | 0.2675 | -----+-----+-----+----- | -----+-----+-----+----- | | |
| | | | | 0.00 | 0.20 | 0.40 | 0.60 |
| Pooled StDev = 0.1921 | | | | | | | |

ภาพที่ 3.18

ผลการวิเคราะห์ผลกระทบของสควิชโรล

3.5.4 การวิเคราะห์ผลกระทบของฟิล์มแม่แบบ (Master Film)

กระบวนการถ่ายแบบเส้นลายวงจรทำหน้าที่ถ่ายภาพเส้นลายวงจรโดยใช้แสงญีโฉยผ่านฟิล์มแม่แบบเพื่อให้เกิดเป็นเส้นลายวงจรตามแบบที่ลูกค้ากำหนด ซึ่งรายละเอียดที่มีอยู่ในฟิล์มแม่แบบนั้นนักจากจะมีลักษณะแบบของเส้นลายวงจรของลูกค้าแล้วยังมีส่วนประกอบย่อยอื่นๆ ได้แก่ ตัวอักษรและสัญลักษณ์ต่างๆ โดยบางตำแหน่งถูกออกแบบให้มีลักษณะซับซ้อนและมีขนาดเล็กเกินไปทำให้เป็นจุดที่สิ่งแปลงปลอมต่างๆ สามารถเข้าไปติดอยู่ตามบริเวณพื้นที่เล็กๆ เหล่านั้น และเมื่อสิ่งแปลงปลอมดังกล่าวหลุดไปปิดทับพื้นที่ทองแดงเปิดจะมีผลกระทบทำให้ทองแดงบริเวณนั้นไม่สามารถถูกกัดออกได้ดังนั้นจึงได้ทำการทดสอบโดยทำการออกแบบฟิล์มแม่แบบใหม่โดยทำการตัดสัญลักษณ์ต่างๆ ที่ไม่จำเป็นออกและเปลี่ยนฐานรากว่างมุนโค้งต่างๆ จากลักษณะเส้นหยักหรือเส้นโค้งเป็นแบบเส้นตรงลักษณะแสดงดังภาพที่ 3.19 แล้วเบริยบเทียบผลกระทบว่า การใช้ฟิล์มแม่แบบฯ เก่าและแบบใหม่ โดยตั้งสมมติฐานของการทดสอบดังนี้

H_0 : สัดส่วนผลิตภัณฑ์ที่มีข้อบกพร่องประเภทบางส่วนของเส้นลายวงจรเชื่อมต่อกันระหว่างการใช้ฟิล์มแม่แบบฯ เก่าและแบบใหม่ไม่มีความแตกต่างกัน

H_1 : สัดส่วนผลิตภัณฑ์ที่มีข้อบกพร่องประเภทบางส่วนของเส้นลายวงจรเชื่อมต่อกันระหว่างการใช้ฟิล์มแม่แบบฯ เก่าและแบบใหม่มีความแตกต่างกัน



ภาพที่ 3.19

เปรียบเทียบภาพของผลิตภัณฑ์ใช้พิล์มแม่แบบฯ เก่า(ซ้าย) และแบบใหม่ (ขวา)

ผลที่ได้จากการทดสอบแสดงดังตารางที่ 3.8 และผลการวิเคราะห์แสดงดังภาพที่ 3.20

ตารางที่ 3.8

ผลการเปรียบเทียบผลกระทบระหว่างการใช้พิล์มแม่แบบฯ เก่าและแบบใหม่

| Master Film | Defect Short (%) | | | | | | | | | |
|-------------|------------------|------|------|------|------|------|------|------|------|------|
| | 1 | 2 | 3 | 4 | 5 | 6 | 7 | 8 | 9 | 10 |
| Old Film | 0.42 | 0.56 | 0.14 | 0.07 | 0.30 | 0.49 | 0.14 | 0.07 | 0.35 | 0.14 |
| New film | 0.07 | 0.07 | 0.07 | 0.00 | 0.07 | 0.00 | 0.00 | 0.21 | 0.07 | 0.07 |

จากผลการวิเคราะห์พบว่า ค่า P-Value เท่ากับ 0.003 ซึ่งต่ำกว่าระดับนัยสำคัญจึงปฏิเสธ สมมติฐานหลัก ดังนั้น สามารถสรุปได้ว่าสัดส่วนผลิตภัณฑ์ที่มีข้อบกพร่องประเภทบางส่วนของเส้นลายวงจรเชื่อมต่อ กันระหว่างการใช้พิล์มแม่แบบฯ เก่าและแบบใหม่มีความแตกต่างกันอย่างมีนัยสำคัญ

| One-way ANOVA: Short versus Master Film | | | | | | |
|---|----|--------|--------|-------------------------|---------|--------|
| Source | DF | SS | MS | F | P | |
| Film | 1 | 0.2101 | 0.2101 | 11.57 | 0.003 | |
| Error | 18 | 0.3268 | 0.0182 | | | |
| Total | 19 | 0.5369 | | | | |
| S = 0.1347 R-Sq = 39.14% R-Sq(adj) = 35.76% | | | | | | |
| Individual 95% CIs For Mean Based on Pooled StDev | | | | | | |
| Level | N | Mean | StDev | -----+-----+-----+----- | | |
| new film | 10 | 0.0630 | 0.0613 | (-----* | -----) | |
| old Film | 10 | 0.2680 | 0.1804 | | (-----* | -----) |
| -----+-----+-----+----- | | | | | | |
| 0.00 | | 0.10 | 0.20 | | 0.30 | |
| Pooled StDev = 0.1347 | | | | | | |

ภาพที่ 3.20

ผลการวิเคราะห์เปรียบเทียบระหว่างการใช้ไฟล์มแม่แบบฯ เก่าและแบบใหม่

3.5.5 การวิเคราะห์ผลกระทบของน้ำล้างของเครื่อง Material Scrubbing

เครื่อง Material Scrubbing ประกอบด้วย 3 ส่วน ได้แก่ บอน้ำยา บอน้ำ และ ดรายเยอร์ โดยบอน้ำของเครื่อง Material Scrubbing จะมีน้ำเพื่อทำหน้าที่ล้างคราบน้ำยาออกจากแผ่นทองแดงหลังจากผ่านบอน้ำยา โดยหากน้ำล้างไม่สะอาดจะทำให้มีสิ่งสกปรกติดบนแผ่นทองแดงซึ่งทองแดงบริเวณดังกล่าวไม่สามารถถูกกัดออกได้และเกิดเป็นข้อบกพร่องประเภทบาง ส่วนของเส้นลายวงจรเชื่อมต่อกัน ก่อนที่น้ำจะถูกนำไปชำระล้างแผ่นทองแดงในระหว่างผ่านกระบวนการทำความสะอาดผิวน้ำทางเดินท่อ ผ่านไส้กรองซึ่งมีความถี่ 100 ไมโครเมตร แต่เนื่องจากเส้นลายวงจรมีขนาดเล็กเพียง 50 ไมโครเมตรจึงอาจทำให้มีสิ่งแปลกปลอมหลุดลอดผ่านเข้ามาในน้ำและติดค้างอยู่บนแผ่นทองแดง ดังนั้นจึงทำการทดสอบโดยการเปลี่ยนไส้กรองน้ำจากความถี่ 100 ไมโครเมตร เป็น 10 ไมโครเมตร และเปรียบเทียบผลก่อนและหลังการเปลี่ยนไส้กรองของน้ำโดยตั้งสมมติฐานของการทดสอบเป็นดังนี้

H_0 : สัดส่วนผลิตภัณฑ์ที่มีข้อบกพร่องประเภทบางส่วนของเส้นลายวงจรเชื่อมต่อกันระหว่างการใช้ไส้กรองน้ำ 100 และ 10 ไมโครเมตรไม่มีความแตกต่างกัน

H_1 : สัดส่วนผลิตภัณฑ์ที่มีข้อบกพร่องประเภทบางส่วนของเส้นลายวงจรเชื่อมต่อกันระหว่างการใช้ไส้กรองน้ำ 100 และ 10 ไมโครเมตรมีความแตกต่างกัน

ผลที่ได้จากการทดลองแสดงดังตารางที่ 3.9 และผลการวิเคราะห์แสดงดังภาพที่ 3.21

ตารางที่ 3.9

ผลการเปรียบเทียบผลกระบทระหว่างการใช้ไส้กรองน้ำขนาด 100 และ 10 ไมโครเมตร

| Filter | Defect Short (%) | | | | | | | | | |
|--------|------------------|------|------|------|------|------|------|------|------|------|
| | 1 | 2 | 3 | 4 | 5 | 6 | 7 | 8 | 9 | 10 |
| 100 µm | 0.28 | 0.69 | 0.49 | 0.63 | 0.21 | 0.28 | 0.14 | 0.11 | 0.10 | 0.21 |
| 10 µm | 0.90 | 0.63 | 0.35 | 0.76 | 0.14 | 0.35 | 0.69 | 0.76 | 0.82 | 0.47 |

One-way ANOVA: Short versus Filter

| Source | DF | SS | MS | F | P |
|--------|----|--------|--------|------|-------|
| Filter | 1 | 0.1296 | 0.1296 | 2.73 | 0.116 |
| Error | 18 | 0.8533 | 0.0474 | | |
| Total | 19 | 0.9829 | | | |

S = 0.2177 R-Sq = 13.19% R-Sq(adj) = 8.36%

Individual 95% CIs For Mean Based on
Pooled StDev

| Level | N | Mean | StDev | | | | | |
|--------|----|--------|--------|--|--|--|--|--|
| 10 um | 10 | 0.5870 | 0.2473 | | (-----* -----)</td <td></td> <td></td> <td></td> | | | |
| 100 um | 10 | 0.4260 | 0.1834 | (-----* -----)</td <td></td> <td></td> <td></td> <td></td> | | | | |

-----+-----+-----+-----+--

-----+-----+-----+-----+--

0.36 0.48 0.60 0.72

Pooled StDev = 0.2177

ภาพที่ 3.21

ผลการวิเคราะห์ผลกระบทระหว่างการใช้ไส้กรองน้ำขนาด 100 และ 10 ไมโครเมตร

จากผลการวิเคราะห์พบว่า ค่า P-Value เท่ากับ 0.116 ซึ่งสูงกว่าระดับนัยสำคัญจึง
ยอมรับสมมติฐานหลัก ดังนั้น สามารถสรุปได้ว่าสัดส่วนผลิตภัณฑ์ที่มีข้อบกพร่องประเภทบางส่วน
ของเส้นล้ายางจะเรื่องต่อ กันระหว่าง ก่อนและหลังการเปลี่ยนสคริชชิโอ้ล ไม่มีความแตกต่างกัน

3.5.6 การวิเคราะห์สภาวะการล้างดรายฟิล์มส่วนที่ไม่โดนแสงเครื่อง Development

หลังจากกระบวนการถ่ายแบบเส้นลายวงจรแล้วทองแดงจะถูกส่งเข้าสู่กระบวนการ การล้างดรายฟิล์มส่วนที่ไม่โดนแสงด้วยสารละลายโซเดียมคาร์บอเนตโดยใช้เครื่อง Development ซึ่ง เครื่อง Development ประกอบด้วย 3 ส่วน ได้แก่ บ่อน้ำยา บ่อน้ำล้าง และดรายเยอร์ชีงทำหน้าที่ อบแห้ง ความเร็วของสายพานที่ใช้อยู่ในปัจจุบันนี้เท่ากับ 4.4 เมตรต่อนาทีซึ่งเป็นความเร็วที่ ค่อนข้างสูงอาจมีผลทำให้ทองแดงไม่แห้งเมื่อผ่านกระบวนการครอบด้วยลมร้อนที่บริเวณดรายเยอร์ และเกิดเป็นคราบน้ำติดบนแผ่นทองแดง ซึ่งคราบน้ำดังกล่าวไม่สามารถถูกกัดออกได้ทำให้เกิด เป็นข้อบกพร่องประเภทบางส่วนของเส้นลายวงจรเชื่อมต่อ กันดังนั้นจึงทำการทดสอบผลกระทบ ดังกล่าวโดยการเปรียบเทียบสัดส่วนข้อบกพร่องระหว่างการใช้ความเร็วสายพาน 4.4 และ 2.8 เมตรต่อนาที โดยตั้งสมมติฐานของการทดสอบเป็นดังนี้

H_0 : สัดส่วนผลิตภัณฑ์ที่มีข้อบกพร่องประเภทบางส่วนของเส้นลายวงจรเชื่อมต่อ กัน ระหว่างการใช้ความเร็วของสายพาน 4.4 และ 2.8 เมตรต่อนาทีไม่มีความแตกต่างกัน

H_1 : สัดส่วนผลิตภัณฑ์ที่มีข้อบกพร่องประเภทบางส่วนของเส้นลายวงจรเชื่อมต่อ กัน ระหว่างการใช้ความเร็วของสายพาน 4.4 และ 2.8 เมตรต่อนาทีมีความแตกต่างกัน

ผลที่ได้จากการทดลองแสดงดังตารางที่ 3.10 และผลการวิเคราะห์แสดงดังภาพที่ 3.22

ตารางที่ 3.10

ผลการเปรียบเทียบระหว่างการใช้ความเร็วของสายพาน 4.4 และ 2.8 เมตรต่อนาที

| Speed | Defect Short (%) | | | | | | | | | |
|-----------|------------------|------|------|------|------|------|------|------|------|------|
| | 1 | 2 | 3 | 4 | 5 | 6 | 7 | 8 | 9 | 10 |
| 4.4 m/min | 0.28 | 0.21 | 0.00 | 0.00 | 0.07 | 0.16 | 0.21 | 0.28 | 0.21 | 0.21 |
| 2.8 m/min | 0.28 | 0.07 | 0.07 | 0.21 | 0.00 | 0.21 | 0.14 | 0.07 | 0.00 | 0.00 |

จากผลการวิเคราะห์พบว่า ค่า P-Value เท่ากับ 0.221 ซึ่งสูงกว่าระดับนัยสำคัญจึง ยอมรับสมมติฐานหลัก ดังนั้น สามารถสรุปได้ว่าสัดส่วนผลิตภัณฑ์ที่มีข้อบกพร่องประเภทบางส่วน

ของเส้นลายวงจรเชื่อมต่อกันระหว่างการใช้ความเร็วของสายพาน 4.4 และ 2.8 เมตรต่อนาทีไม่มีความแตกต่างกัน

| One-way ANOVA: Short versus Speed DEV | | | | | | | |
|--|----|--------|--------|--------------------------|-------|--|--|
| Source | DF | SS | MS | F | P | | |
| Speed DEV | 1 | 0.0168 | 0.0168 | 1.60 | 0.221 | | |
| Error | 18 | 0.1887 | 0.0105 | | | | |
| Total | 19 | 0.2055 | | | | | |
| S = 0.1024 R-Sq = 8.19% R-Sq(adj) = 3.08% | | | | | | | |
| Individual 95% CIs For Mean Based on Pooled StDev | | | | | | | |
| Level | N | Mean | StDev | -----+-----+-----+-----+ | | | |
| 2.8 m/min | 10 | 0.1050 | 0.1004 | (-----*-----) | | | |
| 4.4 m/min | 10 | 0.1630 | 0.1044 | (-----*-----) | | | |
| -----+-----+-----+-----+ | | | | | | | |
| 0.050 0.100 0.150 0.200 | | | | | | | |
| Pooled StDev = 0.1024 | | | | | | | |

ภาพที่ 3.22

ผลการวิเคราะห์ผลกรอบระหว่างการใช้ความเร็วของสายพาน 4.4 และ 2.8 เมตร/นาที

3.5.7 การวิเคราะห์ผลกรอบของป่อน้ำยาของเครื่อง Development

เครื่อง Development ทำหน้าที่ล้างดราฟฟิล์มส่วนที่ไม่โดนแสงออกโดยใช้สารละลายโซเดียมคาร์บอเนตซึ่งมีคุณสมบัติเป็นด่าง เมื่อทำปฏิกิริยากับดรายฟิล์มแล้วส่วนหนึ่งจะเกิดเป็นตะกอนเหนียวติดบนสเตทโรล (Straight Roll) แสดงดังภาพที่ 3.23 ซึ่งหากตะกอนดังกล่าวติดบนแผ่นทองแดงจะทำให้ทองแดงบริเวณดังกล่าวไม่สามารถถูกกัดออกได้และเกิดเป็นข้อบกพร่องประเทพบางส่วนของเส้นลายวงจรเชื่อมต่อ กันจึงทำการทดสอบโดยเบรียบเทียบก่อนและหลังการการทำความสะอาดโรลในป่อน้ำยา Development โดยตั้ง สมมติฐานของการทำทดสอบเป็นดังนี้

H_0 : สัดส่วนผลิตภัณฑ์ที่มีข้อบกพร่องประเทพบางส่วนของเส้นลายวงจรเชื่อมต่อ กันระหว่างก่อนและหลังการการทำความสะอาดสเตทโรลในป่อน้ำยา Development ไม่มีความแตกต่างกัน

H_1 : สัดส่วนผลิตภัณฑ์ที่มีข้อบกพร่องประเททบางส่วนของเส้นลายวงจรเขื่อมต่อ กันระหว่างก่อนและหลังการการทำความสะอาดด้วยสารเคมีในบ่อน้ำยา Development มีความแตกต่างกัน



ภาพที่ 3.23
ลักษณะของตะกอนเหนียวที่ติดบนสเตรทโรล

ผลที่ได้จากการทดลองแสดงดังตารางที่ 3.11 และผลการวิเคราะห์แสดงดังภาพที่ 3.24

ตารางที่ 3.11
ผลการเปรียบเทียบผลกระทบก่อนและหลังทำความสะอาดสเตรทโรล

| Straight Roll DEV | Defect Short (%) | | | | | | | | | |
|----------------------|------------------|------|------|------|------|------|------|------|------|------|
| | 1 | 2 | 3 | 4 | 5 | 6 | 7 | 8 | 9 | 10 |
| Before Clean | 0.07 | 0.00 | 0.07 | 0.14 | 0.14 | 0.00 | 0.00 | 0.00 | 0.00 | 0.00 |
| After Clean | 0.35 | 0.00 | 0.35 | 0.35 | 0.14 | 0.00 | 0.00 | 0.00 | 0.00 | 0.00 |

จากผลการวิเคราะห์พบว่า ค่า P-Value เท่ากับ 0.182 ซึ่งสูงกว่าระดับนัยสำคัญจึงยอมรับสมมติฐานหลัก ดังนั้น จึงสรุปได้ว่าสัดส่วนผลิตภัณฑ์ที่มีข้อบกพร่องประเททบางส่วนของเส้นลายวงจรเขื่อมต่อ กันระหว่างก่อนและหลังการทำความสะอาดสเตรทโรลในบ่อน้ำยา Development ไม่มีความแตกต่างกัน

| One-way ANOVA: Short versus Straight Roll | | | | | |
|--|----|--------|--------|-------------------------------|---------------|
| Source | DF | SS | MS | F | P |
| Straight roll | 1 | 0.0296 | 0.0296 | 1.93 | 0.182 |
| Error | 18 | 0.2769 | 0.0154 | | |
| Total | 19 | 0.3065 | | | |
| S = 0.1240 R-Sq = 9.67% R-Sq(adj) = 4.65% | | | | | |
| Individual 95% CIs For Mean Based on Pooled StDev | | | | | |
| Level | N | Mean | StDev | -----+-----+-----+-----+----- | (-----*-----) |
| After Clean | 10 | 0.1190 | 0.1652 | (-----*-----) | |
| Before Clean | 10 | 0.0420 | 0.0590 | -----+-----+-----+-----+----- | |
| | | | | 0.000 | 0.070 |
| | | | | 0.140 | 0.210 |
| Pooled StDev = 0.1240 | | | | | |

ภาพที่ 3.24

ผลการวิเคราะห์ผลกรอบผลกรอบก่อนและหลังทำความสะอาดสเตราท์โรล

จากการวิเคราะห์ปัจจัยนำเข้าต่างๆ สามารถสรุปผลได้ดังตารางที่ 3.12

ตารางที่ 3.12

ผลการวิเคราะห์ปัจจัยนำเข้า

| ลำดับ | ปัจจัย | P-Value |
|-------|--------------------------------------|---------|
| 1 | รับเบอร์โรล | 0.009 |
| 2 | การม้วนงานเข้าไว้ | 0.000 |
| 3 | สวีซ์โรล (Squeeze Roll) | 0.000 |
| 4 | ฟิล์มแม่แบบ | 0.003 |
| 5 | นำล้างของเครื่อง Material Scrubbing | 0.116 |
| 6 | สภาพการล้างด้วยฟิล์มส่วนที่ไม่โดนแสง | 0.221 |
| 7 | สเตราท์โรลบ่อน้ำยา | 0.182 |

3.6 การปรับปรุงกระบวนการ (Improve Phase)

หลังจากทราบปัจจัยนำเข้าทั้งหมดที่เป็นปัจจัยหลักในการก่อให้เกิดปัญหาข้อบกพร่องของกระบวนการสร้างเส้นลายวงจรแล้ว ในขั้นตอนนี้เป็นการหาวิธีควบคุมปัจจัยหลักนั้นๆ โดยใช้เทคนิคการออกแบบการทดลองมาใช้ในการปรับปรุง จากการวิเคราะห์สาเหตุของปัญหาพบว่าปัจจัยที่มีนัยสำคัญที่ก่อให้เกิดปัญหาข้อบกพร่องประเภทบางส่วนของเส้นลายวงเชื่อมต่อกันมีทั้งหมด 4 ปัจจัย ได้แก่ รับเบอร์โรล การม้วนงานเข้าโรลที่ท้ายเครื่อง Material Scrubbing ฟิล์มแม่แบบ และสวิชโรลเครื่อง Development ดังนั้นจึงทำการแก้ไขปรับปรุงปัญหาดังกล่าวซึ่งมีแนวทางดังนี้

3.6.1 กระบวนการทำความสะอาดผิวน้ำท้องเดงและถ่ายแบบเส้นลายวงจร มีปัจจัยที่เป็นสาเหตุหลักของปัญหา 3 ปัจจัยได้แก่ รับเบอร์โรล การม้วนงานเข้าโรลที่ท้ายเครื่อง Material Scrubbing และฟิล์มแม่แบบ ดังนั้นจึงทำการแก้ไขปรับปรุงปัจจัยทั้งสามนี้โดยใช้วิธีการออกแบบการทดลองศึกษาถึงอิทธิพลของปัจจัยหลักทั้ง 3 ชนิดแต่ละปัจจัยศึกษา 2 ระดับ โดยวิธีการทดลองแบบสองกำลังสามแฟคทอรีเรียล (2^3 Factorial Design)

3.6.2 กระบวนการล้างดรายฟิล์มส่วนที่ไม่โดนแสงออก มี 1 ปัจจัยที่เป็นสาเหตุหลักของปัญหา ได้แก่ อายุการใช้งานสวิชโรล ดังนั้นจึงหาวิธีการกำหนดอายุการใช้งานที่เหมาะสมของสวิชโรลโดยใช้เทคนิคการออกแบบการทดลองอย่างสุ่มสมบูรณ์ (Complete Randomized Design, CRD) โดยการติดตามผลของสัดส่วนผลิตภัณฑ์ที่บกพร่องประเภทบางส่วนของเส้นลายวงจรเชื่อมต่อกันทุก 15 วันหลังจากเปลี่ยนสวิชโรลและเปรียบเทียบสัดส่วนของผลิตภัณฑ์ที่บกพร่องจนกระทั่งครบ 2 เดือนตามอายุการใช้งานเดิมที่กำหนดไว้ในปัจจัยบันเพื่อหาช่วงที่เหมาะสมที่สุดที่จะทำการเปลี่ยนสวิชโรล